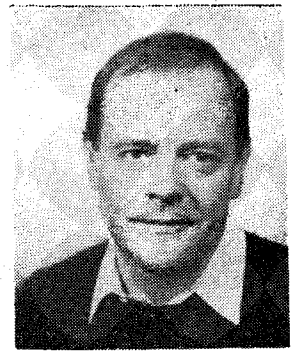


Integrált CORDIC-bázisú jelprocesszorok és alkalmazásuk

PROF. DR.—ING. JOHANN BÖHME
Ruhr-Egyetem



Összefoglalás:

A már 1959 óta ismert CORDIC-eljárással iteratív módon kiszámítható többek között²köt komponensű vektorok adott szöggel való elforgatása, trigonometrikus és hiperbolikus függvények, hányadosok. Egy idetartozó processzor az integráltságot tekintve előnyös, egyöntetű struktúrával rendelkezik. A következőkben az olyan különböző funkciójú létező CORDIC-algoritmusok egységesítésére irányuló vizsgálatokról számolunk be, amelyek a realizációt tekintve CMOS-integrált pipeline CORDIC-processzorok. Továbbá rámutatunk arra, hogy bizonyos jelfeldolgozási feladatokra a CORDIC-chipek alkalmazása előnyös, a szokásos jelprocesszorokkal szemben. Példaként algoritmusokat ismertetünk diszkrét Fourier transzformációra, hullámdigitális szűrőre valamint beszédfeldolgozás és lineáris algebrabeli feladatokra, amelyek rotációkra vagy hiperbolikus rotációkra visszavezethetők.

1. Bevezetés

A digitális jelfeldolgozás feladatai gyakran nagy számítási teljesítmény rendelkezésre állását igénylik. Az olyan felhasználás mint a beszédfeldolgozás, csak a nagyintegráltság (*VLSI*) irányába való továbblépés által lehetségesek. Alapja mindennek az, hogy számos lehetséges elem (*PE*) egy chipen megvalósítható. A feladat lényege ilyenkor az, hogy algoritmusokat és ezekhez illeszkedő architektúrákat tervezzünk, hogy a szükséges adatáramlást³ a szűk chipfelületen elérjük. Megoldásokat kaphatunk egyszerű processzorelemek olyan architektúrájú felhasználásával, amelyek csak helyi kommunikációt igényelnek, továbbá megoldásokat kaphatunk nagymértékben párhuzamos algoritmusok és pipeline elvek alkalmazásával.

A kereskedelemben elérhető processzorok vagy mikroszámítógépek struktúrája komplexitásuk miatt többé nem alkalmazható. A jelfeldolgozás és a lineáris algebra számos feladatára azok a *PI*-k használatosak vagy ajánlottak, amelyek a mátrixszorzást különösen támogatják. Más feldolgozási feladatokhoz négyzetgyökvonás, osztás, trigonometrikus és hiperbolikus függvények, valamint ezek inverzei szükségesek, amelyek az ilyen *PE*-kkel kevésbé hatékonyan számíthatók. Példák erre: a diszkrét Fourier-transzformáció, a mátrixok faktorizációjára szolgáló Givens-eljárás és a normalizált létraszűrő. Mint alternatívákat az irodalomban (pl. Ahmed, 1980; Ahmed és szerzőtársai 1982) a Volder (1959) által bevezetett és Walter

PROF. DR. ING.—J. F. BÖHME

1966-ban a Hannoveri Műszaki Egyetemen matematikusi diplomát szerzett. 1970-ben informatikai doktori címet kapott az Erlangeni Egyetemen. 1977 óta a digitális jelfeldolgozás magántanára. Először a Krupp Atlas Elektronik-nél dolgozott Brémában, közben az Erlangeni Egyetem Matematikai Gépek és Adatfeldolgozási Tanszék tu-

dományos segédmunkatársa volt. 1970—74 között kutatási csoportvezető a Krupp Atlas Elektronik-nél. 1974—78 között kutatási csoportvezető az Informatikai Digitális Jelfeldolgozási Intézetnél a Bonni Egyetemen. 1978-tól 1980-ig az FGAN Nagyfrekvenciás Fizikai Intézet, Wachtberg-Werthofen tudományos munkatársa. 1980 óta a Ruhr Egyetem, Bochum Jelelmélet Tanszékén dolgozik.

(1971) által általánosított CORDIC-algoritmusokat (Coordinate Rotation Digital Computer) javasolták. Ez az algoritmus iteratívan működik és az iterációs lépés előtt csak kevés összeadás és léptetést használ. Bizonyos jelfeldolgozási feladatokhoz, amelyek nagy adatáramlást igényelnek, a strukturák OORDIC-alapú *PE*-hkel előnyösebb megoldásokhoz vezetnek, mint a szokásos *PE*-kkel, amelyek szoroznak és tárolnak a megoldás folyamán. Másrészt szinte minden szokásos jelfeldolgozási feladat számára *PI*-kkel viszonylag egyszerű megoldásokat létrehozni. CORDIC-algoritmusokat már régóta használtak a jelfeldolgozási feladatokkal kapcsolatban, pl. Schlüsser (1976) dolgozatában. Ebben a leírásban a CORDIC-algoritmus realizálására szolgáló pipeline-processzorokról van szó, amely Andrews és Eggerding (1978), valamint Deprettere és szerzőtársai gondolatain alapul. A következőkben leírjuk a CORDIC-eljárás változatait és egy iteratívan működő *PE* struktúráját, amely összeadó és Barrel-léptetőt tartalmaz. Ezután tárgyaljuk a processzor elemekkel rendelkező pipeline-processzor struktúráját, mely csak előrehuzalozott léptetéseket alkalmaz. Beszámolunk a struktúra egységesítésére irányuló vizsgálatokról; azért hogy ezzel minden lehetséges CORDIC-függvényt számíthassunk. Példákat adunk, melyeknél CORDIC-processzorok alkalmazása célszerű.

2. A CORDIC-algoritmus

A CORDIC-algoritmust Deprettere és szerzőtársaihoz (1984) hasonlóan iteratívan definiáljuk.

Fordította: Csopaki Gyula
Elhangzott az 1987. máj. 6—7-én tartott VDE konferencián.

$$\left. \begin{aligned} x_{i+1} &= x_i - m \sigma_i \delta_{mi} y_i \\ y_{i+1} &= \sigma_i \delta_{mi} x_i + y_i \end{aligned} \right\} \quad (1)$$

$$\left. \begin{aligned} z_{i+1} &= z_i + \sigma_i \varepsilon \alpha_{mi} \\ i &= 0, \dots, n_m - 1. \end{aligned} \right\} \quad (2)$$

Legyen

$$\sqrt{m} \operatorname{tg}(\sqrt{m} \alpha_{mi}) = \delta_{mi} = 2^{-S_{mi}} + \eta_{mi} 2^{-S'_{mi}} \quad (3)$$

Az m paraméter a kiszámítandó függvények fajtáját definiálja ($m=1$: trigonometrikus $m=0$: lineáris $m=-1$: hiperbolikus).

A $\sigma_i \in \{-1, 1\}$ miatt az (1) formula — a

$$\cos(\sqrt{m} \alpha_{mi}) = (1 + \delta_{mi}^2)^{-1/2} \text{-val}$$

történő skálázást figyelembevéve — az (X_i, Y_i) ' vektorok α_{mi} „szöggel” való „rotációjának” fogható fel, ahol σ_i a forgásirányt adja meg. Kiindulva a z_0 kezdőértékből, a z_{i+1} a (2) képletben a szögeket összegezi, ahol $\varepsilon \in \{-1, 1\}$ valamely kiszámítandó függvény előjelét határozza meg. Az $S_{mi} < S'_{mi}$ egész számok nem negatívak és $\eta_{mi} \in \{-1, 0, 1\}$. Ezek meghatározzák az algoritmus konvergenciatartományát és a priori alkalmasan rögzítendők. Egy (1) és (2)-beli iterációs lépés csak összeadást és léptetést igényel, és ezt mikrorotációnak nevezik.

Az (X_{n_m}, Y_{n_m}) ' eredményeket a

$$K_m^{-1} = \prod_{i=0}^{n_m-1} (1 + m \delta_{mi})^{-1/2}$$

tényezővel skálázva,

az (x, y) ' vektort kapjuk, (4)

$$\begin{pmatrix} x \\ y \end{pmatrix} = \begin{pmatrix} \cos(\sqrt{m} \alpha_m) - \sqrt{m} \sin(\sqrt{m} \alpha_m) \\ \frac{1}{\sqrt{m}} \sin(\sqrt{m} \alpha_m) \cos(\sqrt{m} \alpha_m) \end{pmatrix} \begin{pmatrix} x_0 \\ y_0 \end{pmatrix} \quad (5)$$

és

$$z = z_{n_m} = z_0 + \varepsilon \alpha_m, \quad \alpha_m = \sum_{i=0}^{n_m-1} \sigma_i \alpha_{mi} \quad (6)$$

n_m a mikrorotációk száma.

Mivel $(x^2 + my^2)^{1/2} = (x_0^2 + my_0^2)^{1/2}$, az (5)-t mint az (x_0, y_0) vektorok egy α_m szöggel való rotációját értelmezhetjük, amit makrorotációnak nevezünk.

A α_i forgásirányok mindig úgy vannak megválasztva, hogy vagy $y_i, y=0$ -val ellentétesen, vagy $z_i, z=0$ -val ellentétesen; növekvő i felé konvergál. Ha elérjük ezt az értéket, az 1. táblázatban megadott függvényeket egy makrorotációval kiszámíthatjuk. A kiválasztott kombináció $m, \varepsilon, y=0$ (vektor-mód) vagy $z=0$ (rotációs mód) által adott, amely a táblázat szerint kerül kiszámításra.

Walter (1971) és Yang (1986) szerint a σ_i a következőképpen választható: $y=0$ esetére $\sigma_i = -\operatorname{sgn}(x_i) \operatorname{sgn}(y_i)$ és $z=0$ esetére $\sigma_i = -\varepsilon \operatorname{sgn}(z_i)$. Így lehet iterálni a korrekt forgásirányokkal. Az $S_{mi}, S'_{mi}, \eta_{mi}$ paramétereket ($m=-1, 0, 1$; $i=0, \dots, n_m-1$), *CORDIC*-sornak nevezik, me-

	$m=-1$	$m=0$	$m=1$
$z \rightarrow 0$	$x = x_0 \cosh z_0 - y_0 \sinh z_0$ $y = y_0 \cosh z_0 - x_0 \sinh z_0$ $z = 0$	$x = x_0$ $y = y_0 - z_0 x_0$ $z = 0$	$x = x_0 \cos z_0 + y_0 \sin z_0$ $y = y_0 \cos z_0 - x_0 \sin z_0$ $z = 0$
$z \rightarrow 0$	$x = x_0 \cosh z_0 + y_0 \sinh z_0$ $y = y_0 \cosh z_0 + x_0 \sinh z_0$ $z = 0$	$x = x_0$ $y = y_0 + z_0 x_0$ $z = 0$	$x = x_0 \cos z_0 - y_0 \sin z_0$ $y = y_0 \cos z_0 + x_0 \sin z_0$ $z = 0$
$y \rightarrow 0$	$x = (x^2 - y^2)^{1/2}$ $y = 0$ $z = z_0 - \operatorname{artanh}(y_0/x_0)$	$x = x_0$ $y = 0$ $z = z_0 - y_0/x_0$	$x = (x^2 + y^2)^{1/2}$ $y = 0$ $z = z_0 - \operatorname{arctan}(y_0/x_0)$
$y \rightarrow 0$	$x = (x^2 - y^2)^{1/2}$ $y = 0$ $z = z_0 + \operatorname{artanh}(y_0/x_0)$	$x = x_0$ $y = 0$ $z = z_0 + y_0/x_0$	$x = (x^2 + y^2)^{1/2}$ $y = 0$ $z = z_0 + \operatorname{arctan}(y_0/x_0)$

lyeket úgy kell megválasztani, hogy az $\alpha_{mi} \geq 0$ szög i -vel ne növekedjen és az

$$\alpha_{m1} - \sum_{j=i+1}^{n_m-1} \alpha_{mj} < m, \quad n_m - 1 \quad (l=0, \dots, n_m - 2) \quad (7)$$

konvergenciafeltétel teljesüljön. Ezenkívül $\alpha_m, n_m - 1$ elegendő kicsi kell legyen; azért, hogy pl. az x, y és z 16-bites fixpontos ábrázolásánál a 16-bites pontosság elérhető legyen. A konvergenciatartomány az összes szög halmazára a következőképpen írható le:

$$|\alpha| \leq \sum_{i=0}^{n_m-1} \alpha_{mi} + \alpha_m, \quad n_m - 1 = C_m, \quad (8)$$

amely tehát egy $\alpha_m, n_m - 1$ hibáig, a (6) értelmében ábrázolható.

A C_m szám $m=1$ esetén nem kisebb π -nél, $m=0$ és lebegőpontos adatforma esetén nem kisebb, mint a számrendszer alapja; egyébként olyan nagy, amilyen csak lehet. Az utóbbi követelmény az α_{mi} más tulajdonságai miatt csak egy korlátozott mértékben teljesíthető. Walter (1971) vizsgálta a lehetőségeket az argumensredukálás által történő konvergenciatartomány-növelésre. Egy ilyen előfeldolgozás különösen a hiperbolikus függvények számára igényel speciális *PE*-ket.

Az (x_{n_m}, y_{n_m}) '-nek a K_m^{-1} -gyel mint ismert felveendő (4)-beli faktorról való szükséges skálázásához; azért, hogy végül (x, y) '-t megkaphassuk, szorzásra lenne szükség. A következőkben úgy tekintjük, hogy K_m^{-1} a *CORDIC*-sor kiválasztása által elegendő pontosságú, így a következőképpen ábrázolható:

$$K_m^{-1} \approx 2^{-T_m} + \eta T_m 2^{-T_m}, \quad (9)$$

Ezzel a skálázást szintén csak összeadásokkal és léptetésekkel végrehajtjuk, ahogyan az (1)-ben is. A (9) approximációnak olyan pontosnak kell lenni, hogy az abszolút hiba az x , y számbábrázolás LSB-értéknél kisebb legyen. Egyébként az (5) ortogonális transzformáció normalizáló tulajdonsága elvész. Stabilitási megfontolások miatt a (9) jobb oldala nem lehet nagyobb, mint a (4)-é.

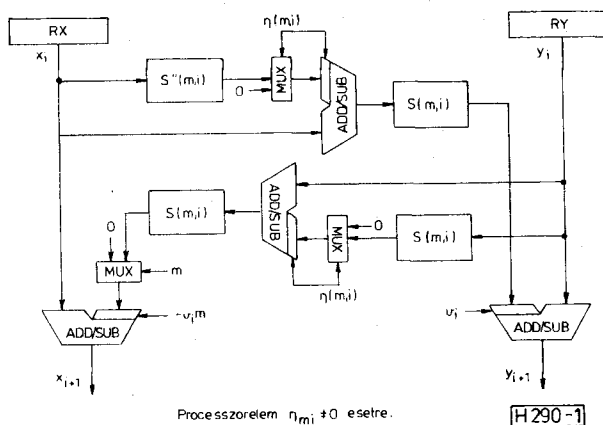
Kézenfekvőek azok a PE struktúrák, amelyekkel az (1) és (2) mikrorotációk $i=0, \dots, n_m-1$ esetére, valamint a skálázás a (9) szerint végrehajtható. Ezeket azonban itt nem ismertetjük, mivel a következő fejezetben egy hasonló architektúráról van szó, amely egy PE-pipeline számára készült. Más skálázási módokra az irodalomban számos javaslatot vizsgáltak meg, pl. Haviland és Tuzsinski (1980), Ahmed (1980) és Deprettere és szerzőtársai (1984) munkáiban. Ezekben bit-soros és bit-paralell aritmetikájú koncepciók vannak.

Lebegőpontos formára szintén ismeretesek megoldások, amelyekből néhányat mint bizonyos tudományos kalkulátorok perifériális processzorbéli chipjét már realizáltak.

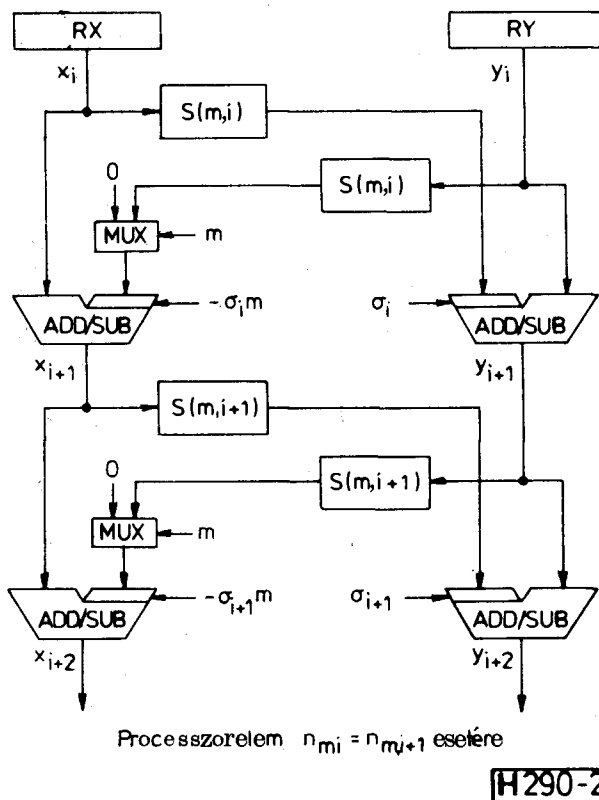
3. Pipeline-struktúrájú processzorok

Az (1)–(3)-beli CORDIC-algoritmus közel áll ahhoz, hogy a pipeline-elvelet alkalmazni lehessen a mikrorotációk területén (Andrews és Eggerding 1978, Deprettere és szerzőtársai 1984). A bemenő és kimenő adatok ugyanis hasonlóan struktúráltak, az i -edik iterációs lépés számára a forgásszöginformáció a σ_i által adott, amely vagy, az x_i és y_i előjeléből vagy az ε -ból és a z_i előjeléből adódik, továbbá az S_{mi} , S'_{mi} és η_{mi} paraméterek ismerteknek feltételezhetők. Egy rögzített m -re az n_m PE-k egy olyan sorozatát állítjuk elő, hogy az i -edik PE kimenetei az $i+1$ -edik PE bemenőregisztereivel vannak összekötve, és minden PE egy mikrorotációt tud végrehajtani. Amikor az első adatok a „pipe”-ba beadásra kerülnek, akkor az első mikrorotáció az első PE-ben, a második a másodikban kerül kiszámításra stb. Ha egy PE a mikrorotációt befejezte és az eredmény a következő PE regiszterébe kerül, akkor a saját regiszterében új adatokkal egy új mikrorotáció kezdődik, ezáltal az S_{mi} , S'_{mi} , η_{mi} és ε , paraméterek megváltoztatása lehetséges. Ha ezek a paraméterek nem változnak, akkor a mindig egyforma feladatok az egymást követő adathármasok (x_0, y_0, z_0) sorozatában hajthatók végre. Más esetekben a processzor kimenetét és bemenetét az n_m adatáramokra multiplexáljuk, minden PE-hez egy gyűrűs léptetőregisztert biztosítunk, amely a megfelelő $(S_{mi}, S'_{mi}, \eta_{mi})$ -t előállítja és ezzel n_m -t a különböző feladatokhoz kiszámítja.

Az utolsó bekezdésben feltételeztük, hogy m nem változik feladatról feladatra vagy $n=n_m$ függetlenül m -tól, mivel ezek a mikrorotációhoz szükséges PE-k darabszámai. A továbbiakban a processzorok számítási ideje minden PE számára meg kell hogy egyezzen. Az (1) számára a maximális számítási idő $\mu_{mi} \neq 0$ -nál szükséges. Ebben az esetben a PE struktúrája fixpontos adatok számára az 1. ábra szerint célszerű (Deprettere et al,



1. ábra. Processzorelem $n_{mi} \neq 0$ esetre



2. ábra. Processzorelem $n_{mi} = n_{m,i+1}$ eseteire

1984). Ekkor $S'_{mi} = S'_{mi} - S_{mi}$ és (3)-ban $2^{-S_{mi}}$ közös kiemelt tényező. Ha $\eta_{mi} = 0$, akkor közelítőleg a fele számítási idő szükséges. Ha $\eta_{mi} = \eta_{m,i+1} = 0$, akkor két mikrorotáció hajtható végre egy PE-ben, ahogy a 2. ábrán látható.

A továbbiakban úgy tekintjük, hogy olyan CORDIC-sorokkal rendelkezünk, amelyek megengedik azt, hogy egy processzort a közvetlen közelében lévő n_d PE-vel az 1. ábra szerint és ehhez illeszkedve, $n - n_d$ esetén, $(n - n_d)/2$ PE-vel a 2. ábra szerinte állítsunk össze. Végül egy PE-t kell még beiktatni, amely a skálázást a (9) szerint elvégzi. Az $\eta_{Tm} \neq 0$ -val az 1. ábra struktúrájának

egyik változata alkalmazható. A feldolgozandó szögtartomány kiszélesítésére célszerű egy járulékos PE -t a processzor előfokozataként alkalmazni. Ha például $\pi/2 < C_1 < \pi$, akkor egy 90° -kal való elfordulást hoz a kívánt szélesítés. Ha egy PE -ben az adatok latens ideje T_{mic} , akkor a processzor számára $T_{mac} = [(n + n_a)/2 + 2]T_{mic}$. Az átbocsátóképesség, tehát a bemeneten két egymást követő adathármas közti idő $1/T_{mic}$.

A hardware-ráfördítés a pipeline-struktúrájú processzorokra nézve minimális, ha a léptetések behuzalozhatók a PE -kbe. Ez lehetséges, ha vagy m marad mindig változatlan, vagy olyan $CORDIC$ -sorok találhatóak, amelyeknek a léptetési paraméterei, $S_{mi} = S_i$ és $S_{mi} = S'_i$, nem függenek m -től. Schmidt és szerzőtársai (1986) egy olyan vizsgálatot írtak le, amelyben ilyen $CORDIC$ -sorokat kerestek szisztematikusan. Ezenkívül azok voltak az optimalizálási célok, hogy a mikrorotáció céljára szolgáló PE -k $(n + n_a)/2$ számát minimalizálják úgy, hogy a pontosság- és konvergenciatartománykövetelményeket teljesítsék. A processzor be- és kimenő adatai számára a 16-bites fixpontos adatformánál és egy 24-bites PE -beli adatformánál a kísérletek például a 2. táblázatbeli $CORDIC$ -sorokat adták.

Az 1. példa $n_a = 6$ és $n = 21$ esetére adja a megoldást.

$$K_{-1}^{-1} = 0,444^{-1} = 2^1 + 2^{-2} \text{ és}$$

$$K_{-1}^{-1} = 1,778^{-1} = 2^{-1} + 2^{-4} = 2^{-2}K_{-1}^{-1}$$

A 2. példa esetén $n_a = 5$, $n = 20$

$$K_{-1}^{-1} = 0,667^{-1} = 1 + 2^{-1}$$

és

$$K_{-1}^{-1} = 2^{-1}K_{-1}^{-1}$$

Egy adott lépésszámmal, amely a kimenetek különféle elágazásával realizálható, a skálázó PE -k is egységesek. Figyelemre méltó, hogy az 1. példában az utolsó előtti PE $i = 20$ esetén egy mikrorotációt hajt végre, aztán várakoznia kell.

Az idézett vizsgálatokban számos más előnyös $CORDIC$ -sor található; külön előnyös, ha például nem kell hiperbolikus funkciókat számítani. Itt nincs arra lehetőség, hogy ezeket a megoldásokat bemutassuk. Yang (1986) megmutatta, hogy 32-bites lebegőpontos formátumú adatok számára megfelelő pipeline-struktúrájú processzort lehet építeni. Ennek a processzornak az előtagja a lebegőpontos számok denormalizálására is szolgál. A mikrorotációk a mantisszákkal a fixpontos számokhoz hasonlóan hajthatók végre, az exponens változtatása nélkül. Az utolsó lépésben következik a skálázás és normalizálás. A felül- és alulcsordulási bitek kielégítő számának, valamint egy alkalmas kerekítési algoritmusnak az alkalmazásával ezeknek a processzoroknak a numerikus pontossága csak lényegtelenül gyengébb, mint azoké a processzoroké, amelyek minden PE -ben lebegőpontos aritmetikát alkalmaznak. A hardware-többlet felhasználás egy fixpontos processzorhoz képest összehasonlítható szóhosszúságnál csak kb. 15%. A javasolt lebegőpontos processzorok alkalmazhatósága azonban sokkal nagyobb, mivel nem kell normalizált algoritmusokat használni.

2. táblázat

Példák univerzális $CORDIC$ -sorokra

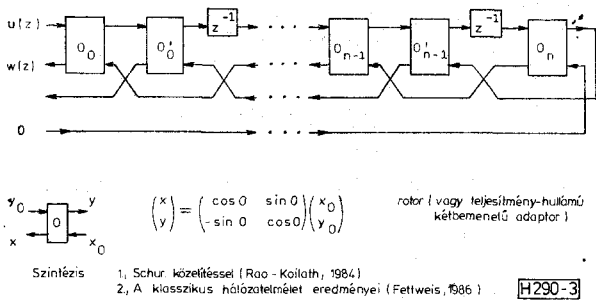
i	No. 1			No. 2			s'	s'		
	s	n	s'	s	n	s'				
	m=-1	m=0	m=1	m=-1	m=0	m=1				
0	1	1	1	1	3	1	1	1	6	
1	1	1	1	1	3	1	1	-1	11	
2	1	1	1	0	5	2	1	1	0	3
3	2	1	1	1	3	3	1	1	1	4
4	2	1	1	-1	8	3	1	1	0	6
5	2	-1	0	-1	7	4				
6	3					5				
7	4					5				
8	5					6				
9	6					7				
10	7					8				
11	8					9				
12	9					9				
13	9					10				
14	10					11				
15	11					12				
16	12					13				
17	13					14				
18	14					15				
19	15					16				
20	16									

K_m	0,44	1,00	1,78	0,67	1,00	1,33
C_m	3,21	2,91	2,67	2,00	1,88	1,65

4. Alkalmazások

Ahmed (1980) és Ahmed et al (1982) részleteiben vizsgálták, hogy a $CORDIC$ -bázisú processzorok és a megfelelő algoritmusok felhasználása előnyös hardware-struktúrák kialakítását teszi lehetővé. Ezért ebben a fejezetben legfeljebb csak utalunk az ismert vagy nyilvánvaló alkalmazási lehetőségekre és csak egyes újabb eredményeket ismertetünk.

A szférikus trigonometriai formulák, mint amelyek pl. a navigációs feladatoknál a nagykörvezérlés esetén felmerülnek, csak trigonometrikus függvényeket tartalmaznak, amelyek $CORDIC$ -processzorokkal $m = 1$ esetén számíthatók. Már Voldernél (1959) található egy javaslat, amely korlátozás nélkül megvalósítható fixpontos processzorokkal. Mivel a jelfolyam a számítás során csak egy irányba halad, pipeline-struktúrájú processzorok előrehuzalozott léptetésekkel realizálhatók. Hasonlóan strukturált feladatok találhatóak megfelelő megoldási lehetőségekkel a háromdimenziós vetítéseknel a számítógépes grafika területén, robotkarok vezérlésénél, ahol a manipulátorpozíció meghatározásához állandóan homográf transzformációkat kell végrehajtani. Egy másik alkalmazás a diszkrét Fourier-transzformáció. Az $\exp(-j2\pi kl/N)$ -nel való szorzás elfordulásként értelmezhető és $CORDIC$ -processzorral számítható. Egy DPT -processzor lényegében COR -



3. ábra. Digitális szűrő kanonikus ábrázolása
CORDIC-processzorokkal történő realizálásához

DIC-processzorokból és összeadókból áll (Despain 1979, Ahmed 1980, Lerch et al. 1986). Itt a struktúrák pipeline-szerkezetűek, amelyek a processzorok közötti globális kommunikációt — ahogy azok az FFT algoritmusokban fellépnek — kiküszöbölik; azért, hogy a megvalósítást lehetővé tegyék a nagyintegráltság irányába. Végül szükséges a lebegőpontos processzorok alkalmazása akkor is, ha a transzformálandó adatok nem normalizáltak.

Ha szeretnénk egy stabil, passzív racionális $w(z) = H(z)u(z)$ digitális szűrőt kaszkádba kapcsolt egyforma processzorok formájában, amelyek csak a szomszédokkal kommunikálnak és pipeline struktúrával realizálhatók, akkor ez Rav és Kailath (1984) nyomán a 3. ábra értelmében megvalósítható. A szétbontás a 3. ábra értelmében kanonikus, úgy, hogy a késleltetőelemek és az elforgató elemek száma minimális.

Ez a struktúra ortogonális szűrőproblémába történő beágyazás által és a Schur-rekurziók alkalmazásával állítható elő. Ahogy Fettweis (1986) megmutatta, a struktúrák hullámdigitális-szűrőként kétkapus adapterekből is kialakíthatók, amely egy transzformátorokból és cirkulátorokból álló analog referenciaszűrő. Ezzel a szintézist, tehát a Θ_i és Θ'_i forgásszögek megállapítását, a hálózati-mélet klasszikus módszereivel is végrehajthatjuk. Az elfordulás realizálása CORDIC-processzorok ($m=1$) által nyilvánvaló, ahol szintén pipeline-struktúra alkalmazható. A szűrőstruktúra jó stabilitási tulajdonságai miatt normalizált bemenőjelekre fixpontos processzorok használhatók. A pipeline-struktúra teljesen kihasználható a be- és kimenőjel L -szeres multiplexálásával, ahol L a processzor PE-jeinek száma. Minden bemenőjel nyilvánvalóan csak $1/(3T_{mac})$ rátával adható be bitparalell módban, ahol T_{mac} a makrorotáció ideje. A bemenőjel áthaladási sebessége nagyságrendileg $1/T_{mic}$, ahol T_{mic} egy mikrorotáció ideje; ez olyan szűrőstruktúra számára érhető el, amelynek jelfolyama egyirányú. Példa erre a normalizált létraszűrő (Ahmed et al 1982). Ezek univerzális CORDIC-processzorokkal realizálhatók.

Utolsó példaként tekintsük egy $Ax = b$ lineáris egyenletrendszer x -re történő megoldását. Egy olyan eljárásra van szükség, amely nem igényel processzorok közötti globális kommunikációt. Egy ilyen eljárás használja pl. a Givens' rotációkat az

A mátrix QR-szétosztására, ahol a Q ortogonális és R egy felsőháromszög mátrixnak a szorzata, amelyek mint alkalmasan leírt rotációk a Θ_{ri} forgásszöggel interpretálhatók, és amelyek A -ból meghatározhatók. A Θ_{ri} és az $Rx = Q^{-1}b = c$ egyenletrendszer együtthatói a következő rekurzióval számíthatók:

$$i > r\text{-re: } \Theta_{ri} = \arctg(a_{ir}/a_{rr}) \quad (10)$$

$$a_{rr} = (a_{rr}^2 + a_{ir}^2)^{1/2} \quad (11)$$

$$j > r\text{-re: } \begin{pmatrix} a_{rj} \\ a_{ij} \end{pmatrix} = \begin{pmatrix} \cos \Theta_{ri} & \sin \Theta_{ri} \\ -\sin \Theta_{ri} & \cos \Theta_{ri} \end{pmatrix} \begin{pmatrix} a_{rj} \\ a_{ij} \end{pmatrix}, \quad (12)$$

$$\begin{pmatrix} b_r \\ b_i \end{pmatrix} = \begin{pmatrix} \cos \Theta_{ri} & \sin \Theta_{ri} \\ -\sin \Theta_{ri} & \cos \Theta_{ri} \end{pmatrix} \begin{pmatrix} b_r \\ b_i \end{pmatrix}. \quad (13)$$

Ennek az algoritmusnak CORDIO-processzorokkal ($m=1$) szisztolés vagy hullámfront-tömbben való realizálása ismeretesek. (Gentleman és Kung 1981, Ahmed et al. 1982). A CORDIC-processzorokat pipeline-struktúrával előnyösen alkalmazhatjuk, mivel a (10) számítása a $\sigma_0, a_1, \dots, a_{n-1}$ forgásirányok szekvenciális számítását jelenti, amely azonos sorrendben a (12) és (13)-ban van kidolgozva. Természetesen a mikrorotáció szintjén egy pipelining kapható (Deprettere et al 1984). Jainandung és Deprettere (1986) megmutatták, hogy az $x = R^{-1}c$ Givens' rotációkra vonatkozó Faddeeva algoritmus egyik változatának visszahelyettesítése is $U_{22}x$ és $U_{22} = \pm(1+x^2)^{1/2}$ formában oldható meg. A 4. ábrán végül egy további változat található, amely x -et szolgáltatja egy szisztolés tömb 4×4 -es A mátrixának példáján. Θ -val jelöltük azokat a CORDIC-processzorokat amelyek a következőkben egy szöveget számítanak. Amint az i -edik PE-ben σ_i kiszámításra kerül, σ_i tárolódik és a következő mikrociklusban a (12) vagy (13) rotációkkal kezdődik. A megfelelő kontroll a bemenőadatok egy járulékos bitjével könnyen elvégezhető. Az F jelölés az $L = T_{mac}/T_{mic}$ várakozási sor hosszát adja meg, hogy egy T_{mac} időközleletetű létrehozott. A leírt eljárás módosítható, hogy lineáris egyenletrendszer rekurzív legkisebb-négyzetes-megoldásait megkaphassuk; (McWirter 1983). Jainandung és Deprettere (1986 a és b) megoldásokat ad pozitív definit és különösen Töplitz-szerű mátrixokra.

5. Köszönetnyilvánítás

Bár még nincs a CORDIO-algoritmussal kapcsolatos összes probléma megoldva, különösen nincs a hiperbolikus függvények konvergencia-problémája, ebben a cikkben bemutatjuk azokat a fejtegetéseket, melyek szerint számos alkalmazásban előnyös a CORDIC-processzorok alkalmazása. Északrajna-Wesztfália tartomány Tudományos és Kutatási Minisztériuma támogatja ezeket a vizsgálatokat és különösen azon integrált áramkörök fejlesztését, (Schmidt et al. 1986) amelyeket a duisburgi mikroelektronikai áramkörök és rendszerek Frauehofer Intézetével közösen végeztünk. Szeretnénk Zimmer és Hosticka kollégáimnak, valamint Hahn, Schmidt, Timmermann és Yang munkatársaimnak a sok értékes észrevételéért köszönetet mondani.

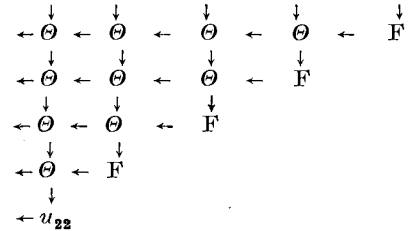
A $x=b$ lineáris egyenletrendszer Givens rotációval történő megoldása

$$\begin{pmatrix} U_n & u_{12} \\ u'_{21} & u_{22} \end{pmatrix} \begin{pmatrix} A' & O_n & I_n \\ -b' & 1 & O'_n \end{pmatrix} = \begin{pmatrix} R & u_{12} & U_{11} \\ O'_n & u_{22} & u_{22}x' \end{pmatrix}$$

y_0
 \downarrow
 $x \leftarrow \Theta \leftarrow x_0$
 \downarrow
 y
 F: verem (hossz = T_{mac}/T_{mic})
 $u_{22} : u_{22}x'/u_{22}$
 $(i, j) : i * T_{mac} + j * T_{mic}$

(5,0) ...
 (6,0) ...
 (7,0) ...
 (8,0) ...
 (9,0) ... (9,4)(9,5) ... (9,8)
 $x_1 \dots x_4$
 látens = $(n-1) * T_{mac}$
 átbocsátóképesség = $2/T_{mic}$

0(4,8)
 0 1(3,8)
 0 0 0(2,8)
 0 0 1 0(1,8)
 1 0 0 0 0(0,8)
 $-b_4$ 0 0 1 0
 $-b_3$ a_{44} 0 0 0
 $-b_2$ a_{34} a_{43} 0 1
 (4,0) $-b_1$ a_{24} a_{33} a_{42} 0
 (3,0) a_{14} a_{23} a_{32} a_{41}
 (2,0) a_{13} a_{22} a_{31}
 (1,0) a_{12} a_{21}
 (0,0) a_{11}



processzorok $n(n-1)/2 - 1$
 vermek n

4. ábra. Lineáris egyenletrendszer CORDIC-processzorok szisztolós tömbbel való megoldása

I R O D A L O M

- [1] Ahmed, M. A. (1980): Signal processing algorithms and architectures Ph. D. Thesis, Dept. of Electrical Eng., Stanford University
- [2] Ahmed, M. A., Delosme, J. M. and Morf, M. (1982): Highly concurrent computing structures for matrix arithmetic and signal processing. IEEE Computer 15, 65—82.
- [3] Andrews M. and Eggerding, D. A. (1978): A pipelined computer architecture for unified elementary functions. Computer and Electr. Eng. 5. 189—202.
- [4] Deprettere, E. F. A., Dewilde, P. M. and Udo, R. (1984): Pipelined CORDIC architectures for fast VLSI filtering and array processing. Proc. IEEE ICASSP San Diego, 41A. 6.1-4.
- [5] Despain, A. V. (1979): Very Fast Fourier transform algorithms hardware for implementation. IEEE Trans. C-28, 333—341.
- [6] Fettweis, A. (1986): Passive and lossless digital filter structures. Proc. And. Nordic Symp. VLSI in Computers and Communication, Linköping.
- [7] Gentleman, M. W. and Kung, H. T. (1981): Matrix Triangulation by Systolic Arrays. Proc. S. P. I. E. 298 „Real Time Signal Processing IV”, 19—26.
- [8] Haviland, G. L. and Tuszinski, A. A. (1980): A CORDIC arithmetic processor chip. IEEE Trans. C-29, 68—79.
- [9] Hosticka, R. J. et al. (1985): Power wave digital filters using CORDIC adaptors, AEU 39, 242—244.
- [10] Jainandunsig, K. and Deprettere, E. F. A. (1986a): Design and VLSI Implementation of a concurrent solver for N-coupled least-squares fitting problems. IEEE J. SAC-4, 39—48.
- [11] Jainandunsig, K. and Deprettere, E. F. A. (1986b): Solving sets of linear equations for real time signal processing. In *Signal Processing III: Theory and Applications*, I. T. Young et al. (eds.), North-Holland, Amsterdam, 1287—1290.
- [12] Lerch, R. et al. (1986): CORDIC realization of a DFT processor. In *Signal Processing III, Theory and Applications*. I. T. Young et al. (eds.), North Holland, Amsterdam, 1319—1322.
- [13] McWhirter, J. G. (1983): Recursive least-squares minimization using a systolic array. Proc. S. P. I. E. „Real Time Signal Processing VI”.
- [14] Rao, S. K. and Kailath, T. (1984): Orthogonal digital filters for VLSI implementation. IEEE Trans. CAS-31, 922—945.
- [15] Schmidt, G. (1984): Filterverfahren zur Spektralanalyse auf der Basis von CORDIC-Prozessoren. Diplomarbeit am Lehrstuhl für Signaltheorie der Ruhr-Universität Bochum.
- [16] Schmidt, G. et al. (1986): Parameter optimization of the CORDIC-algorithm and implementation in a CMOS-chip. In *Signal Processing III: Theory and Applications*, I. T. Young et al. (eds.), North Holland, Amsterdam, 1219—1222.
- [17] Schüßler, W. (Hsg.) (1976): Ausgewählte Arbeiten über Nachrichtensysteme, Heft 22, Lehrstuhl für Nachrichtentechnik, Universität Erlangen.
- [18] Volder, E. J. (1959): The CORDIC trigonometric computing technique. IRE Trans. EC-8, 330—334.
- [19] Walter, J. S. (1971): A unified algorithm for elementary functions. Proc. Spring Joint Comp. Conf. 38, 379—388.
- [20] Yang, R. (1986): Untersuchung zu einem 32-Bit-Gleitkomma CORDIC-Prozessor. Diplomarbeit am Lehrstuhl für Signaltheorie der Ruhr-Universität Bochum.